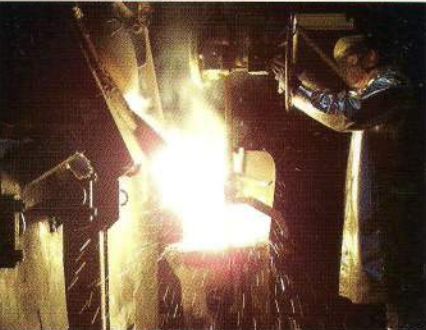
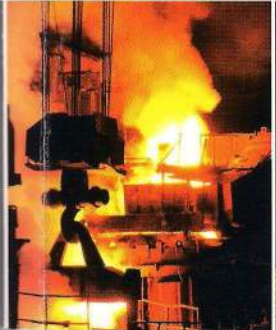




Российская ассоциация
литейщиков

**Материалы
X Съезда литьщиков
России**

Казань 2011 г.



Чайкин В.А. (филиал МГОУ, г. Сафоново), Чайкин А.В. (МГТУ им. Н.Э. Баумана), Мягков К.А., Ишутин В.В. (ГУП Москвы «Литейно прокатный завод»)

АНАЛИЗ ПРОЦЕССА ДЕСУЛЬФУРАЦИИ СТАЛИ В УСЛОВИЯХ ГУП «ЛПЗ» (МОСКВА) И РАЗРАБОТКА РЕКОМЕНДАЦИЙ ПО ПОВЫШЕНИЮ ЕГО ЭФФЕКТИВНОСТИ

В ГУП «ЛПЗ», Москвы, выплавляется арматурная сталь A500C, химический состав которой приведен табл. 1.

Таблица 1. Химический состав стали A500C

Требования НД	№ арматуры	C _{экв.}	Массовая доля элементов, %								
			C	Si	Mn	P	S	Cr	Ni	Cu	N
СТО АСЧМ 7-93	10-32	мин. макс.	0,50	0,22	0,90	1,60	0,050	0,050	не оговаривается		0,012
Контрольные пределы	12-20	мин. макс.	0,50	0,22	0,35	0,70	0,040	0,040	0,30	0,30	0,012
Контрольные пределы	22-32	мин. макс.	0,50	0,22	0,40	0,95	0,040	0,040	0,30	0,30	0,012

Примечание: 1. Контрольные пределы являются обязательными к исполнению.
2. Допускаются отклонения по содержанию примесей цветных металлов при соблюдении требований по углеродному эквиваленту, рассчитываемому по формуле $C_{экв.} = C + Mn/6 + (Cr + Mo + V)/5 + (Ni + Cu)/15$.

Для получения качественной стали необходимо проведение эффективных реакций раскисления и десульфурации, которые невозможно осуществить без высокой основности шлака восстановительного периода. Однако отжигаемая на заводе известь часто оказывается низкого качества, что приводит к образованию шлаков с пониженной основностью, имеющих характерный черный цвет. Это свидетельствует о высоком содержании FeO и MnO в шлаках, что в свою очередь обуславливает повышенное содержание кислорода в стали, неполное удаление серы из металла и снижение механических свойств стали. Поэтому была проведена работа по повышению эффективности реакции десульфурации стали и повышению её качества.

На первом этапе была произведена статистическая обработка 59 рядовых плавок стали A500C с помощью программы STATISTICS & ANALYSIS 7.0. Анализировались количество серы в начальный и конечный моменты

восстановительного периода плавок в печи-ковше, а также коэффициент десульфурации. Результаты обработки представлены в табл. 2.

Таблица 2. Результаты статистической обработки плавок стали A500C

	Количество плавок	Среднее значение	Минимум	Максимум	Ср. кв. отклонение, S	Дисперсия, S ²	Асимметрия	Экспесс	Коэффициент вариации, V, %
Содержание S в начале плавки, %	59	0,0412	0,030	0,053	0,0000	0,00608	-0,015	-0,800634	14,76
Содержание S в конце плавки, %	59	0,030763	0,013	0,045	0,0000	0,00661	-0,657	0,56724	24,38
Коэф. десульфурации, %	59	37,932	3,125	74,28	292,015	17,0884	0,2511	-0,752983	45,05

Как видно из данных табл. 1, средний показатель концентрации серы в металле после перелива в печь-ковш превышает контрольный уровень, поэтому проведение десульфурации стали обязательный процесс. Вместе с тем начальное содержание серы в расплаве достаточно стабильно ($V = 14,6\%$, табл. 2) и стремится к нормальному распределению. В конце восстановительного периода среднее содержание серы снижается, но процесс десульфурации не стабилен, о чем свидетельствуют высокие коэффициент вариации для серы (24,38%, табл.2) и низкий коэффициент десульфурации 37,93%. Распределения серы и коэффициента десульфурации (рис.1) далеки от нормального закона распределения, что подтверждает нестабильность процесса удаления серы из стали. В первую очередь это связано с качеством используемой извести. Если известь на участке хорошего качества, то во время плавки достигается удовлетворительный результат по удалению серы из расплава. Ее содержание может уменьшаться до 0,013% (табл. 2). Если же известь плохого качества или отсутствует, то возникают проблемы с десульфурацией и содержание этого элемента может превышать контрольные пределы (табл.2).

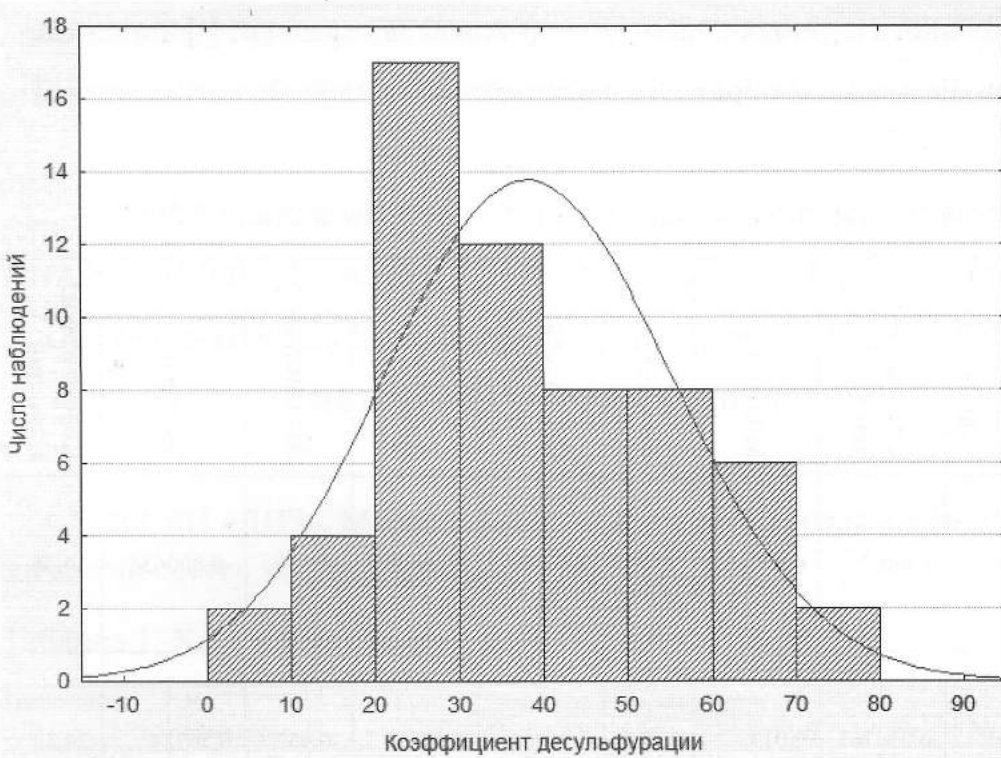
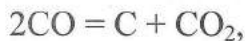


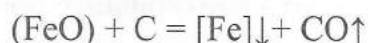
Рис.1. Гистограмма коэффициента десульфурации в рядовых плавках

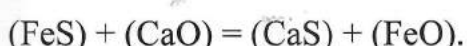
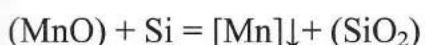
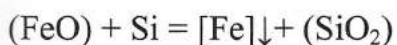
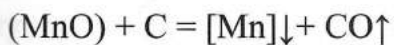
Для устранения этого недостатка было проведено 47 опытных плавок с раскислительными смесями МКрс19 и МКрс21, которые изготавливаются из высокодисперсных порошков, что резко повышает их реакционную способность за счет увеличения удельной поверхности раздела фаз. Для удобства использования смеси фасуются в пакеты по 3 кг.

Смесь МКрс19 обладает низкой температурой плавления и хорошей жидкотекучестью. Она за короткий промежуток времени равномерно распределяется по поверхности шлака. Основу смеси составляет карбонат кальция, который за счет дисперсности мгновенно разлагается на CaO и CO₂. CaO повышает основность и сульфидоемкость шлака. CO₂ при температурах 1600 не устойчив и в присутствии входящего в состав смеси графита начинает реагировать с ним по реакции:



и тем самым создает восстановительную атмосферу в печи. Таким образом, создаются идеальные условия для протекания реакции восстановления оксидов из шлака углеродом и кремнием, присутствующих в раскислительных смесях, а также реакций десульфурации:





В результате раскисления оксиды железа и марганца восстанавливаются в шлаке и согласно закону распределения переходят в металл, следовательно, количество марганца в металле увеличивается, и уменьшается необходимое количество добавок ферросиликомарганца MnC17 для доведения химического состава стали по марганцу. Кроме того, металл оказывается с более низкими содержаниями кислорода и серы, что позволяет сократить количество ферросилиция и используемой порошковой проволоки с наполнителем СК30.

Раскисление стали смесями МКрс19 и МКрс21 производили в установке «печь-ковш». Была применена следующая технология раскисления. Обработку смесями проводили только в случае наличия некачественной извести. После наведения и разогрева шлака из извести, плавикового шпата и магнезита (350, 30 и 50 кг соответственно), если шлак имел характерный черный цвет (содержание FeO и MnO > 2%), в печь-ковш вручную подавали МКрс19 в количестве 0,55 кг на тонну жидкого (6 пакетов).

После этого на поверхность шлака подавали раскислительную смесь МКрс21 в количестве 0,18 кг/т жидкого (2 пакета) для усиления восстановительной атмосферы в печи и для активизации реакции десульфурации.

В печь отдавали необходимые флюсы и ферросплавы. Металл разогревали до температуры 1627°C. В конце восстановительного периода шлак становился белым, что свидетельствовало об эффективной десульфурации и раскислении шлака и металла.

Таким образом, провели 47 опытных плавок стали А500С с использованием раскислительных смесей МК_{рс}. После экспериментов была проведена статистическая обработка полученных результатов. Анализировались количество серы в начальный и конечный момент плавок, а также коэффициент десульфурации. Полученные результаты сравнивались с данными, получен-

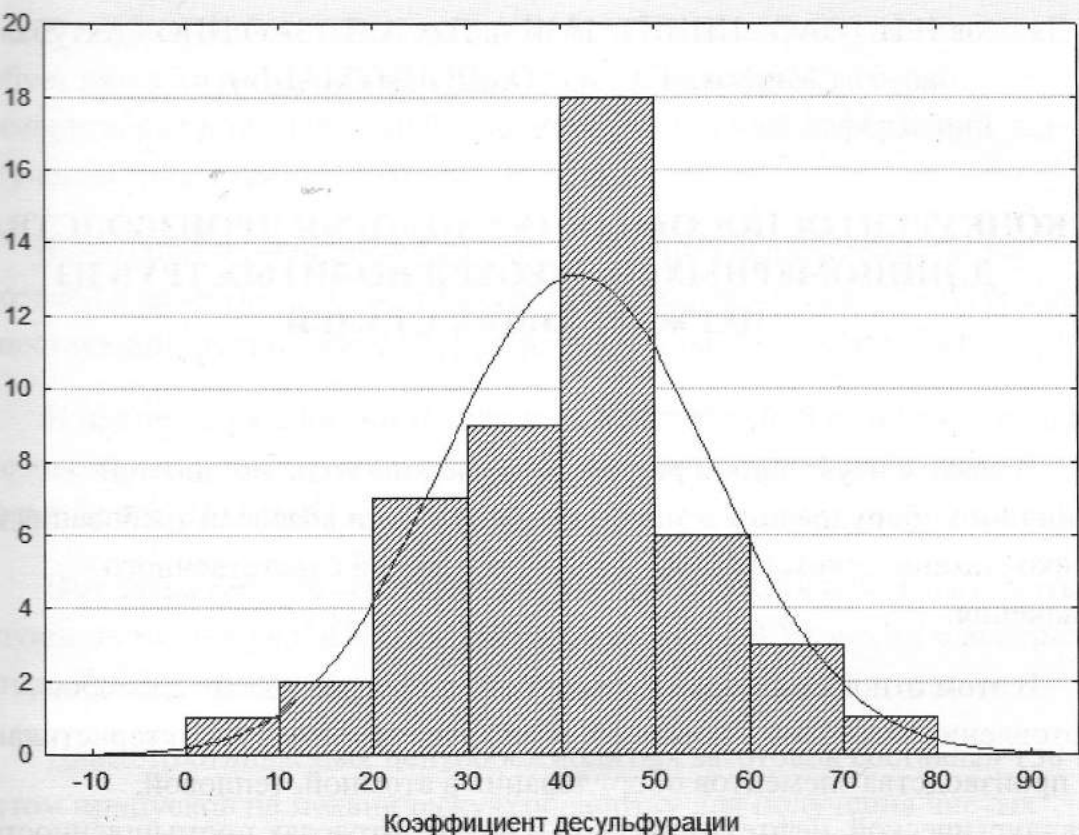
ными при статистической обработке 59 рядовых плавок. Результаты обработки представлены в табл. 3.

Таблица 3. Результаты десульфурации опытных и рядовых плавок

	Количество плавок	Среднее значение	Минимум	Максимум	Ср. кв. отклонение, S	Дисперсия, S^2	Асимметрия	Экспесс	Коэффициент вариации, V, %
Содержание S в начале плавки, %	47 59	0,0433 0,0412	0,031 0,030	0,063 0,053	0,0001 0,0000	0,00715 0,00608	0,382 -0,015	-0,212383 -0,800634	16,48 14,76
Содержание S в конце плавки, %	47 59	0,0251 0,0307	0,009 0,013	0,041 0,045	0,0000 0,0000	0,00636 0,00661	0,058 -0,657	0,144806 -0,56724	15,33 24,38
Коэф. десульфурации, %	47 59	45,444 37,932	4,651 3,125	75,675 74,285	204,895 292,015	14,3141 17,0884	-0,071 0,2511	0,294975 -0,752983	24,53 45,05

Примечание. В числителе указаны результаты плавок с раскислительными смесями МКрс19 и МКрс21, а в знаменателе – без них.

Из данных табл. 3 видно, что средние начальные значения содержания серы в опытных плавках больше, чем в рядовых. Тем не менее, конечные содержания серы наоборот больше в рядовых плавках, чем в опытных. Минимальное содержание серы в опытных плавках снизилось до 0,009%, а максимальное практически сравнялось с верхним контрольным пределом. Повысился также коэффициент десульфурации с 37,9 до 45,4%. Кроме того, в экспериментальных плавках десульфурация идет более стабильно. Распределение концентраций серы стремится к нормальному распределению. Близок к нормальному распределению и коэффициент десульфурации (рис. 2). Этот факт доказывает, что смеси МКрс19 и МКрс21 эффективно раскисляют стали и создают идеальные условия для удаления серы.



ис.2. Гистограмма коэффициента десульфурации в опытных плавках с МКрс

Таким образом, процесс плавки с использованием раскислительных смесей МКрс устраняет зависимость десульфурации от качества используемой извести и её наличия на участке. В этом случае можно уверенно говорить об эффективном и стабильном удалении серы из стали, проведении эффективных реакций восстановления марганца и железа в шлаке с последующим переходом их в металл.

Параллельно с анализом десульфурации стали в печи ковше произвели статистическую обработку количеств флюсов и ферросплавов, отдаваемых в печь-ковш на различных стадиях плавки, которая подтвердила предположение об экономии ферросплавов за счет дополнительной обработки раскислительными смесями.

Ожидаемый годовой экономический эффект от внедрения раскислительных смесей МКрс19 и МКрс21 в ГУП «ЛПЗ» составит 3 млн. 766 тыс. рублей.